



تحلیل ارتعاش محوری میله‌های غیر محلی انتگرال- دیفرانسیلی دوفازی با استفاده از روش ایزوژئومتریک

سید محمد حسین گوشگیر^۱، شیرکو فاروقی^{۲*}

۱- فارغ التحصیل کارشناسی ارشد، مهندسی مکانیک، دانشگاه صنعتی ارومیه، ارومیه

۲- دانشیار، مهندسی مکانیک، دانشگاه صنعتی ارومیه، ارومیه

* ارومیه، صندوق پستی ۵۷۱۵۵-۴۱۹ sh.farughi@uut.ac.ir

چکیده

در این مقاله، ارتعاش محوری نانومیله براساس تئوری الاستیسیته غیر محلی انتگرال- دیفرانسیلی دوفازی با استفاده از روش ایزوژئومتریک مورد تحلیل واقع شده است. تئوری غیر محلی انتگرال- دیفرانسیلی دوفازی، نه تنها خاصیت غیر محلی را به شکلی انتگرالی و تحت تابع وزنی کرنل نشان می‌دهد؛ بلکه احتمای محلی و غیر محلی را برای یک ماده الاستیک غیر محلی دوفازی بصورت خطی ترکیب می‌کند. رویکرد جدید ایزوژئومتریک روش المان محدود را با هندسه محاسباتی پیوند داده و می‌تواند مدل هندسی دقیقی از مسئله ارائه نماید. همچنین با استفاده از توانع پایه بی- اسپیلاین با مرتبه پیوستگی دلخواه می‌تواند جایگزین بهتری برای روش‌های المان محدود کلاسیک باشد. نتایج بدست آمده از نظر سرعت و کیفیت همگرایی، حاکی از برتری رویکرد ایزوژئومتریک بر روش المان محدود است. همچنین در این مدل اثرات پارامترهای فازی و غیر محلی بر فرکанс‌های طبیعی نانومیله مورد بررسی قرار گرفته و نشان داده شد که افزایش پارامترهای فاز محلی و مقیاس طولی غیر محلی به ترتیب، باعث افزایش و کاهش مقادیر فرکанс‌های طبیعی نانومیله می‌شود. نهایتاً برای دو حالت ویژه، فرکанс‌های مجانبی برای یک مدل میله غیر محلی انتگرال- دیفرانسیلی دوفازی بدست آمده و نتایج موجود متاثر در حالت دیفرانسیلی ارینگ مقایسه گردید.

اطلاعات مقاله

مقاله پژوهشی کامل

دربافت: ۳۰ بهمن ۱۳۹۵

پذیرش: ۱۷ فروردین ۱۳۹۶

ارائه در سایت: ۰۹ اردیبهشت ۱۳۹۶

کلید واژگان:

تئوری الاستیسیته غیر محلی انتگرال-

دیفرانسیلی دوفازی

ایزوژئومتریک

نانو میله

ارتعاش محوری

Analysis of axial vibration of nanorods with two phase integro-differential nonlocal elasticity based on Iso-geometric approach

Seyed Mohammad Hossein Goushegir, Shirko Faroughi*

Faculty of Mechanical Engineering, Urmia University of Technology, Urmia, Iran
* P.O.B. 57155-419 Urmia, Iran, sh.farughi@uut.ac.ir

ARTICLE INFORMATION

Original Research Paper

Received 18 February 2017

Accepted 06 April 2017

Available Online 29 April 2017

Keywords:

Two phase integro differential nonlocal

elasticity

Isogeometric

Nanorod

Axial vibration

ABSTRACT

In this work, axial vibration of nanorod was analyzed based on two phase integro-differential nonlocal elasticity theory using isogeometric method. Two phase integro-differential nonlocal elasticity theory not only shows the nonlocal property in an integrated manner based on kernel weight function, but also combines local and nonlocal linear curvature for a two phase nonlocal elastic material. The new isogeometric approach combines finite element method with computational geometry and can present an accurate geometric model for the problem. Also, using b-spline basis functions with arbitrary continuity order, it can be a better alternative for classical finite element methods. The obtained results indicated that isogeometric approach was superior to finite element method in terms of speed and convergence quality. Moreover, in this model, the effects of phase and nonlocal parameters on the natural frequencies of the nanorod were investigated and it was shown that increase of parameters of local phase and nonlocal length scale, respectively, increased and decreased the values of natural frequencies of nanorods. Finally, for two special cases, asymptotic frequencies for a single type of nonlocal rod, two phase integro-differential was obtained and the results were compared with corresponding available differential Eringen results.

برد را به صورت پارامترهای ماده وارد معادلات ساختاری می‌کند. بعدها، ادلن و لاوز [۴]، ادلن و همکارانش [۵] و ارینگن و ادلن [۶] فرمول بندی معادلات غیر محلی را در یک چهار جوب ترمودینامیکی بهبود بخشیده و اندر کنش‌های بین اتمی را در معادلات ساختاری به فرمی انتگرالی اعمال نمودند. شکل انتگرالی تئوری غیر محلی بیان می‌کند که تنش در یک نقطه خاص از ماده، تابعی از تنش‌های محلی در تمام نقاط محصور در یک فاصله شعاعی از آن

در سال‌های اخیر، برخلاف شبیه‌سازی‌های اتمی، تئوری‌های وابسته به اندازه به دلیل قابلیت آن‌ها در ارائه کردن مدل‌های پیوستار و تبع آن، کاهش محاسبات در تحلیل نانوساختارهای مکانیکی، توجه محققین را به طور فزاینده‌ای جلب نموده است. در بین تئوری‌های وابسته به اندازه، تئوری پیوستار غیر محلی ارینگ [۳-۱] اثر مقیاس و اندر کنش‌های بین اتمی دور-

۱- مقدمه

برای ارجاع به این مقاله از عبارت ذیل استفاده نمایید:

S. M. H. Goushegir, Sh. Faroughi, Analysis of axial vibration of nanorods with two phase integro-differential nonlocal elasticity based on Iso-geometric approach, *Modares Mechanical Engineering*, Vol. 17, No. 5, pp. 86-94, 2017 (in Persian)

اجرای محاسبات در کامپیوتر بطور قابل توجهی افزایش خواهد یافت. تا حال، تحقیقات اندکی در مورد تحلیل ایزوژئومتریک نانوتیرها [18]، نانوکمان‌ها¹² [19] و نانوورق‌ها [20-22] انجام گرفته است. اما تاکنون ارتعاش نانومیله‌های انتگرال- دیفرانسیلی دوفازی با استفاده از روش ایزوژئومتریک مورد بررسی قرار نگرفته است.

در این تحقیق به تحلیل ارتعاش آزاد نانومیله‌ها براساس تئوری غیرمحلي انتگرال- دیفرانسیلی دوفازی پرداخته خواهد شد. ابتدا فرمول‌بندی عمومی ایزوژئومتریک مدل غیرمحلي انتگرال- دیفرانسیلی دوفازی توسعه داده شده و سپس فرمول‌بندی پارامتریک یک المان ایزوژئومتریک میله¹³ غیرمحلي ارائه شده است. در این مدل جدید ارائه شده،تابع کرنل مورد استفاده از نوع تابع گرادیان- تنش اصلاح شده است که برای اولین بار در تحلیل‌ها به کار رفته است. سرعت همگرایی این المان جدید میله غیرمحلي، به‌وسیله استراتژی‌های متفاوت ریزسازی مش، مورد بررسی قرار گرفته است. پارامترهای فاز محلی و غیرمحلي و همچنین تأثیر پارامتر مقیاس طولی بر فرکانس‌های طبیعی نانومیله مورد بررسی قرار خواهد گرفت و نتایج به دست آمده از روش حاضر با روش المان محدود مقایسه می‌گردد.

2- رویکرد ایزوژئومتریک مبتنی بر توابع پی- اسپیلاین¹⁴

2-1- بردار گرهی¹⁵

در فضای یک بعدی، بردار گرهی یک دستگاه مختصات غیرنرولی در فضای پارامتری می‌باشد که به صورت $\{\xi_n + p + 1, \xi_2, \dots, \xi_1\} = \xi$ نوشته می‌شود، به‌طوری که $\xi_i \in R$ بوده و i ، اندیس گره (i = 1, 2, 3, ..., n + p + 1) است. پارامتر p مرتبه چند جمله‌ای و تعداد توابع پایه‌ای است که در تولید منحنی پی- اسپیلاین استفاده می‌شود. گره‌ها فضای پارامتری را به المان‌ها تقسیم می‌کنند و مزهای المان در فضای فیزیکی، به‌طور ساده تصاویر خطوط گرهی تحت نگاشت پی- اسپیلاین می‌باشند. وقتی که در فضای پارامتری فاصله بین نقاط برابر باشد، بردار گرهی یکنواخت است و اگر فاصله‌ها نامساوی باشند، بردار گرهی غیریکنواخت می‌باشد. در بردارهای گرهی ممکن است مقادیر گره‌ها تکرار شوند و بین از یک گره، دارای مقادیر یکسانی باشند. تکرار¹⁶ مقادیر نقاط، مفهوم مهمی در خصوصیات توابع پایه‌ای دارد. برداری گرهی، که مقادیر ابتدا و انتهای آن $p + 1$ بار تکرار شود بردار گرهی باز نامیده می‌شود که بیشترین کاربرد را در تحلیل‌ها و مدل‌سازی‌ها دارد.

2- توابع پایه

با در دست داشتن یک بردار گرهی می‌توان توابع پایه مربوطه را به صورت بازگشتی تعیین کرد که شروع آن یک تابع قطعه ثابت است ($p = 0$).

$$N_{i,0}(\xi) = \begin{cases} 1 & \xi \leq \xi_i \\ 0 & \xi > \xi_i \end{cases} \quad (1)$$

برای $p = 1, 2, \dots$ توابع پایه با استفاده از رابطه زیر تعیین می‌گردد.

$$N_{i,p}(\xi) = \frac{\xi - \xi_i}{\xi_{i+p} - \xi_i} N_{i,p-1}(\xi) + \frac{\xi_{i+p+1} - \xi}{\xi_{i+p+1} - \xi_{i+1}} N_{i+1,p-1}(\xi) \quad (2)$$

که این رابطه، نشأت گرفته از رابطه بازگشتی کاکس-دی بور¹⁷ است

نقطه است که پروفیل آن تابع با فاصله گرفتن از نقطه مورد نظر زوال¹ پیدا می‌کند. اینگن [7] و آلتان [8]، مدل جامع‌تری با عنوان تئوری الاستیسیته انتگرال- دیفرانسیلی غیرمحلي دوفازی² ارائه کرده‌اند که مبنی بر آن، با نسبت دادن یک سهم حجمی به هر دو تئوری الاستیسیته محلی و غیرمحلي انتگرالی، یک مدل جدید غیرمحلي دوفازی ساخته می‌شود. یافتن یک تابع کرنل مثبت فاصله گرفتن از تبعیض شونده³ (با تضعیف شونده⁴) که از نظر فیزیکی معنادار باشد؛ بسته به شرایط مسئله نقشی کلیدی در اعمال تئوری انتگرالی اینگن در معادلات ساختاری ایفا می‌کند. مطالعات محدودی به منظور تولید و انتخاب صحیح توابع کرنل در حل مسائل انجام گرفته است. به‌طور مثال، بازالت و چانگ [9] تائیر انتخاب توابع مختلف وزنی مورد استفاده در میانگین‌گیری کرنش، بر ناپایداری‌ها در محدوده‌های الاستیک را بررسی کرده‌اند. آن‌ها کرنل‌های متداول بسیاری را از جمله: کرنل توزیع نرمال⁵، مثلثی سیخ مانند⁶ و توابع نمایی دوطرفه⁷ بوسیله روش المان محدود امتحان نموده‌اند. پیکو [10]، به‌طور تحلیلی گروهی از توابع کرنل را بر پایه طبیعت گستته مواد در مقیاس‌های کوچک اتمی تولید کرده و نتایج خود را با شبیه سازی‌های اتمی صحه گذاری نمود. غوش و همکارانش [11]، بطور عمومی برای مواد همسانگرد دسته‌ای از توابع کرنل دو و سه بعدی را بر پایه داده‌های پراکنش فونون⁸ در یک بعد تولید نمود.

به‌طور کلی، به‌علت سادگی اعمال تئوری دیفرانسیلی غیرمحلي اینگن در تحلیل استاتیک و دینامیک مسائل یک و دو بعدی، تئوری انتگرال- دیفرانسیلی غیرمحلي از استقبال بسیار کمتر از سوی جامعه محققین برخوردار شده است. پولیزوتو [12]، برای اولین بار بوسیله روش المان غیرمحلي⁹ (NL-FEM) و یک روش تکرار شونده¹⁰ جایگزین مبتنی بر المان غیرمحلي محدود، فرمول‌بندی مدل انتگرالی غیرمحلي را براساس سه رویکرد در حساب تغییرات به دست آورد. پیزانو و فوسچی [13]، به‌وسیله تبدیل معادلات حرکت به معادلات حل شدنی استاندارد انتگرالی وولترا آمرتبه دوم¹¹، یک راه حل مسته برای مسئله میله الاستیک تحت کشش براساس تئوری انتگرال غیرمحلي اینگن ارائه داده اند. روش NL-FEM برای حل استاتیک مسائل الاستیک دو بعدی برای مواد همگن [14] و ناهمگن [15] براساس تئوری انتگرال- دیفرانسیلی دوفازی توسعه و به کار گرفته شده است. به تازگی، خدابخشی و ردی [16]، یک مدل منسجم برای تحلیل خمس تیرهای اوبل-برنولی برمنای تئوری انتگرال- دیفرانسیلی غیرمحلي ارائه نموده اند. آن‌ها یک فرمول‌بندی عمومی سه بعدی برمنای روش المان محدود برای حل معادلات حاکمه، توسعه داده‌اند.

در تمام منابع فوق الذکر، رویکردهایی برمنای روش المان محدود به عنوان روش حل ارائه گردیده است. مطابق با یافته‌های شعاع [17]، استفاده از رویکردهای مبتنی بر المان محدود به منظور حل مسائل الاستیک انتگرال- دیفرانسیلی غیرمحلي بسیار چالش برانگیز و از نظر محاسباتی هزینه بر است. علاوه بر آن، بنابر خدابخشی و ردی [16]، در مدل المان محدود غیرمحلي انتگرالی، افزایش تعداد المان‌ها برای رسیدن به دقت دلخواه، منجر به افزایش تعداد درآیه‌های غیرصفر در ماتریس سختی کل شده و در نتیجه، زمان

¹ Decaying

² Two-phase integro-differential nonlocal elasticity

³ Positive distance-decaying kernel

⁴ Attenuating

⁵ Normal distribution

⁶ Spiked triangular

⁷ Bilateral exponential

⁸ Phonon dispersion

⁹ Nonlocal finite element method

¹⁰ Iterative

¹¹ Volterra integral equation of second kind

¹² Nano-arches

¹³ Isogeometric rod element

¹⁴ B-Spline functions

¹⁵ Knot vector

¹⁶ Multiplicity

¹⁷ Cox-de Boor recursion formula

که در آن، کسرهای حجمی η_1 و η_2 فلزهای محلی و غیرمحلی ماده را در جسم مشخص کرده و درجه خاصیت محلی و غیرمحلی را در مدل حاضر کنترل می‌نمایند. در حالت $(0 = \eta_1, \eta_2 = 1)$ ، معادلات ساختاری صرفاً محلی و در حالت $(\eta_1 = 0, \eta_2 = 1)$ ، معادلات اصلی ساختاری تئوری انتگرالی ارینگن بازیابی می‌شوند. پارامترهای فاز η_1 و η_2 ثابت مثبتی هستند که رابطه $1 = \eta_1 + \eta_2$ را ارضاء می‌کنند.

4- فرمول بندی عمومی ایزوژئومتریک مدل غیرمحلي انتگرال-دیفرانسیلی دوفازی

در روابط زیر، معادلات تعادل و شرایط مرزی مانند فرمول بندی مدل کلاسیک محلی است با این تفاوت که تانسور تنش σ با تعریف موجود در معادله (4)، جایگزین می‌گردد.

$$\nabla \cdot \sigma + b = \rho \ddot{u} \quad \text{در } V$$

$$u = \tilde{u} \quad t = \tilde{t} \quad \Gamma_u, \Gamma_t \quad \text{در روی } \Gamma \quad (5)$$

که در آن، V دامنه داخلی جسم، Γ_u بخشی از مرز است که جابجایی‌ها در آن تعریف شده است؛ و Γ_t بخشی از مرز است که نیروهای تماسی در آن تعیین شده اند. دو مرز Γ_u و Γ_t از هم کاملاً جدا بوده و دارای خاصیت مشتق‌گیری نسبت به زمان است.

انرژی پتانسیل کل سیستم را می‌توان به شکل زیر نوشت [25].

$$\Pi(u) = U + V^E = \int_V \left(\frac{1}{2} \sigma : \epsilon - b \cdot u \right) dV - \oint_{\Gamma} t \cdot u dS \quad (6)$$

با جایگذاری معادله (4) در معادله (6)، انرژی پتانسیل غیرمحلي کل مطابق زیر به دست می‌آید.

$$\Pi(u) = \int_V \left(\frac{1}{2} \eta_1 \epsilon(x) : D : \epsilon(x) + \frac{1}{2} \int_{V_e} \eta_2 H(x, \dot{x}, l_c) \epsilon(x) : D : \epsilon(\dot{x}) d\dot{V} - b \cdot u \right) dV - \oint_{\Gamma} t \cdot u dS \quad (7)$$

مطابق روند موجود در المان محدود [26]، شکل ضعیف^۴ معادله (7) به صورت زیر به دست می‌آید.

$$0 = \int_{V_e} \left\{ -(\nabla w)^T : \left[\eta_1 D : \epsilon_e(x) + \sum_{e=1}^{N_{el}} \int_{V_e} \eta_2 H(x, \dot{x}, l_c) D : \epsilon(\dot{x}) d\dot{V} + \int_{V_e} w^T \cdot b_e dV + \oint_{\Gamma_e} w^T \cdot t_e dS \right] \right\} dV \quad (8)$$

که در آن، N_{el} تعداد المان‌ها در دامنه است و t_e بردار نیروی تماسی در راستای مرز المان e می‌باشد. جملات غیرمحلي با المان e مرتبط هستند که با المان e اندکش دارند. همچنین، w تابع وزنی دلخواه است.

در مرحله بعد، میدان جابجایی $\epsilon(x)$ با تقریب ایزوژئومتریک جایگزین می‌گردد و میدان کرنش به صورت زیر نوشته می‌شود.

$$u(x) = N_p^e \Delta_e \quad x \in V_e, \quad e = 1, \dots, N_{el} \quad (9)$$

در معادله (9)، Δ_e بردار متغیرهای کنترلی المان e و N_p^e ماتریس توابع شکل نزیب است که میدان جابجایی المان را به جابجایی‌های کنترلی آن مرتبط می‌نماید.

تابع وزنی w در فرم ضعیف معادله (8)، با توابع شکل N_p^e ، جایگزین شده و در نتیجه خواهیم داشت.

$$\nabla w = B_e \quad (10)$$

⁴ Weak form

[23]. نتایج اعمال روابط (1) و (2) بر یک بردار گرهی یکنواخت در "شکل 1" نشان داده شده است. شایان ذکر است که برای توابع بی-اسپیلان $p = 1$ با $p = 1$ نتایج به ترتیب مشابه توابع استاندارد قطعه‌ای ثابت و خطی در اجزاء محدود است.

2-3- ریزسازی مش^۱

روندی‌های ریزسازی مش نیز از مؤلفه‌های اساسی فناوری نزیر است. دو استراتژی ریزسازی $-h$ - و ریزسازی $-p$ - شبیه به روش المان محدود، نوع جدید مرتبه بالا و کارامدتر آن یعنی ریزسازی $-k$ - می‌باشد. در ریزسازی $-p$ - پیوستگی C^0 در طول گره‌ها (مرزهای المان‌ها) حفظ می‌شود. در ریزسازی $-k$ - پیوستگی مرتبه C^{p-1} حداقل درون وصله‌ها در طول گره‌ها قابل دست یابی است. همواری اضافی در ریزسازی $-k$ - در حالاتی مانند ارتعاش آزاد ساختارها، چندشاخگی^۲ کمانش تیرهای نازک، ورق‌ها و پوسته‌ها که در آن‌ها راحله‌ای دقیق بطور غالب بسیار هموار هستند؛ به‌طور مشهودی مطلوب است. علاوه بر آن، ریزسازی $-k$ - پارامترگذاری بسیار مختصی از توابع هموار ارائه می‌کند.

3- تئوری غیرمحلي انتگرال-دیفرانسیلی دوفازی

در تعریف کلی تئوری غیرمحلي ارینگن [24]، تنش در یک نقطه مرجع مانند x درون جسم نه تنها به کرنش در x وابسته است، بلکه به میدان کرنشی در تمامی نقاط دیگر ماده (\dot{x}) نیز وابستگی دارد. در تئوری انتگرال‌غیرمحلي، این وابستگی به شکل یک انتگرال وزن دار^۳ بیان می‌شود. که تابع وزنی آن یک تابع کرnel اسکالر، مانند $H(x, \dot{x}, l_c)$ است. در این تئوری، تنش در نقطه $x \in \dot{V}$ به صورت زیر تعریف می‌گردد.

$$\sigma(x) = \int_{\dot{V}} H(x, \dot{x}, l_c) D : \epsilon(\dot{x}) d\dot{V} \quad (3)$$

که در آن به ترتیب، $(\dot{x}, D, \epsilon(\dot{x}))$ و \dot{V} کرنش در نقطه \dot{x} ، تانسور مرتبه چهار مدول‌های کلاسیک خطی الاستیک ماده و حجم نانوورق است. پارامتر l_c پارامتر مقیاس طولی نام دارد.

مطابق با ارینگن [7] و آلتان [8] ترکیب خطی دو مدل محلی و غیرمحلي الاستیک به صورت یک تئوری واحد کامل تر دوفازی قابل بیان است. بنابر این مدل، تنش در نقطه x از طریق رابطه زیر به دست می‌آید.

$$\sigma(x) = \eta_1 D : \epsilon(x) + \eta_2 \int_{\dot{V}} H(x, \dot{x}, l_c) D : \epsilon(\dot{x}) d\dot{V} \quad (4)$$

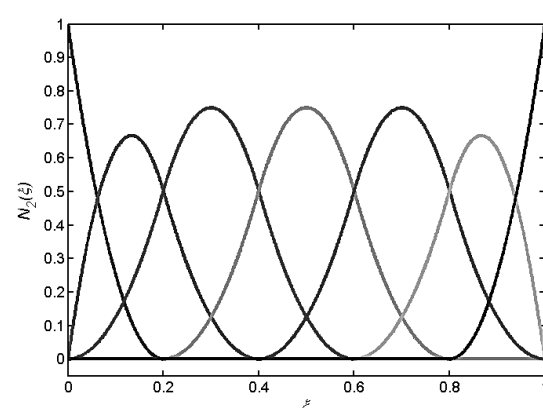


Fig. 1 B-spline basis function with corresponding open knot vector

شکل 1 توابع پایه بی-اسپیلان متناظر با بردار گرهی یکنواخت
 $E = \{0, 0, 0, 0.2, 0.4, 0.6, 0.8, 1, 1, 1\}$

¹ Mesh refinement

² Bifurcation

³ Weighted integral

6- نتایج عددی

در این بخش، کارایی و دقیقیت المان میله ایزوژئومتریک حاضر در تحلیل ارتعاش آزاد نانومیله‌های یکنواخت در قالب نتایج عددی نشان داده شده است. بدین منظور، نزخ همگرایی انواع رویکردهای ریزسازی شبکه مورد استفاده در روش ایزوژئومتریک از جمله: ریزسازی- p -، ریزسازی- h - و ریزسازی- η_1 مورد مقایسه قرار گرفته شده است. بعلاوه، اثر پارامترهای غیرمحالی l_c و فازی η_1 بر فرکانس‌های طبیعی مودهای مختلف ارتعاش آزاد میله و در شروط مرزی دو سر گیردار (SS) و یکسر گیردار (SF) بررسی شده است. در نهایت، پاسخ فرکانسی مدل انتگرالی نانومیله ایزوژئومتریک تحت تک سیگنال مربعی^۱ بدست آمده و اثر پارامتر l_c بر آن مورد بحث قرار گرفته است. در تمام طول این بخش، پارامتر فرکانسی p - بعد مرتبه $\omega^h = \omega^2 \rho A L^2 / EA$ در تحلیل‌ها مورد استفاده قرار گرفته است. که در آن، L طول نانومیله است.

6-1- همگرایی و دقیقیت نتایج

در "شکل 3"، همگرایی سه پارامتر اول فرکانسی p - بعد مریبوط به یک مدل میله غیرمحالی انتگرالی دو سر گیردار با $l_c = 0.2L$ نشان داده شده است. در این شکل، ریزسازی- h - مورد بررسی قرار گرفته شده است. همچنین، مرتبه توابع شکل برابر با $p = 1, 2, 3$ درنظر گرفته شده است.

در "شکل 3"، با افزایش تعداد المان‌ها از ۱ تا ۳۲ همگرایی فرکانس‌های طبیعی سه مود اول مشهود است. همان‌گونه که مشاهده می‌شود، به ازای $(p = 1)$ در دو مود اول ارتعاش، فرکانس‌ها از تعداد ۲۸ المان و فراتر از آن، همگرا می‌شوند ولی فرکانس سوم ارتعاش، همگرا نشده است. در این حالت، توابع شکل نزیب معادل توابع درونیاب با پیوستگی C^0 در روش المان محدود است. در ضمن، نمودار همگرایی در این مرتبه از توابع شکل، دارای نوسانات^۲ زیادی است و همگرایی پیوسته و پایداری ندارد. به ازای $(p = 2)$ فرکانس پایه با یک نوسان در $N_{el} = 2$ به طور یکنواخت همگرا می‌شود. در این حالت، مودهای دوم و سوم ارتعاش نیز به طور یکنواخت همگرا می‌شوند. همچنین با بررسی $(p = 3)$ می‌توان نتیجه گرفت که سرعت و پایداری در همگرایی نتایج واپسگشتی شدیدی به انتخاب مرتبه توابع نزیب در روش ایزوژئومتریک دارد. به طوری که برای $p = 2$ و $p = 3$ به ترتیب، با درنظر گرفتن حداقل ۱۶ و ۸ المان نتایج به طور مطلوبی همگرا می‌گردند. جدول ۱، اطلاعات

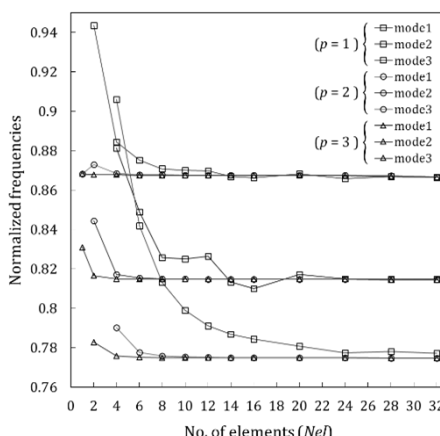


Fig. 3 convergence of first three normalized frequency of clamped – clamped nanorod

شکل ۳ همگرایی سه پارامتر فرکانسی اول نرمالیزه یک میله غیرمحالی دو سر گیردار

¹ Single square signal

² Oscillations

نهایت، u و W به ترتیب، از معادلات (۹) و (۱۰)، در معادله (۸) قرار داده شده و مدل ایزوژئومتریک نهایی برای یک المان e مطابق زیر به دست می‌آید.

$$0 =$$

$$\int_{V_e} \left\{ -B_e^T : \right.$$

$$\left[\eta_1 D : B_e \Delta_e + \sum_{\ell=1}^{N_{el}} \int_{V_\ell} \eta_2 H(x, \dot{x}, l_c) D : B_e \Delta_e d\dot{V} \right] + N_p^T b_e \} dV + \oint_{\Gamma_e} N_p^T t_e dS$$

با توجه به معادله (۵)، معادله (۱۱) با درنظر گرفتن انرژی جنبشی، و جابجایی مودال $\omega = \Delta_e e^{-i\omega t}$ (بعد مرتبه $\omega^h = \omega^2 \rho A L^2 / EA$ است) به صورت زیر قابل بازنویسی است.

$$\omega^2 \int_{V_e} \rho N_p^T : N_p^e \Delta_e dV = \int_{V_e} \left\{ -B_e^T : \right.$$

$$\left[\eta_1 D : B_e \Delta_e + \sum_{\ell=1}^{N_{el}} \int_{V_\ell} \eta_2 H(x, \dot{x}, l_c) D : B_e \Delta_e d\dot{V} \right] + N_p^T b_e \} dV + \oint_{\Gamma_e} N_p^T t_e dS$$

5- مدل ایزوژئومتریک میله غیرمحالی انتگرال-دیفرانسیلی دوفازی

یک میله مستقریم، همگن و همسانگرد به طول L و سطح مقطع ثابت A مطابق "شکل 2" درنظر گرفته شده است. مبدأ مختصات در ابتدای میله و محور x در راستای مرکز سطح مقطع میله قرار داده شده است.

تنهای کنش غیرصفر در میله بر حسب جابجایی محوری $u = u(x, t)$ برابر است با.

$$\epsilon(x) = \frac{\partial u}{\partial x} \quad (13)$$

تنش غیرمحالی دوفازی، از معادله (۴) مطابق زیر تعیین می‌گردد.

$$\sigma(x) = \eta_1 E \frac{\partial u}{\partial x} + \int_0^L \int_A \eta_2 H(x, \dot{x}, l_c) E \frac{\partial u}{\partial x} dA dx \quad (14)$$

در معادله (۱۴)، تابع کرنل برای مدل میله حاضر در یک-بعد بصورت $H(x, \dot{x}, l_c) = \frac{1}{2l_c} \exp(|x - \dot{x}|/l_c)$ تعریف شده است. با اعمال محاسبات عمومی بخش ۴ برای مدل میله با میدان تنش و کرنش ارائه شده در معادلات (۱۳) و (۱۴)، فرمول‌بندی یک بعدی ایزوژئومتریک برای یک المان میله غیرمحالی بدست خواهد آمد. بنابراین، معادله (۱۲) به صورت خلاصه شده، بدون درنظر گرفتن نیروهای تماسی t_e و نیروهای حجمی b_e وارد به سیستم، به فرم مسئله مقدار ویژه تعیین یافته زیر قابل بیان است.

$$\eta_1 K_e^{lcl} \Delta e + \eta_2 \sum_{\ell=1}^{N_{el}} K_e^{nlcl} \Delta e = \omega^2 M_e \Delta e \quad (15)$$

که در آن،

$$(K_e^{lcl})_{ij} = \int_{x_1^e}^{x_2^e} EA^e \frac{d(N_p^e)_i}{dx} \frac{d(N_p^e)_j}{dx} dx \quad i, j = 1 \dots 2$$

$$(K_e^{nlcl})_{ij} = \int_{x_1^e}^{x_2^e} \int_{x_1^e}^{x_2^e} H(x, \dot{x}, l_c) EA^e A^e \frac{d(N_p^e)_i}{dx} \frac{d(N_p^e)_j}{d\dot{x}} dx d\dot{x} \quad i, j = 1 \dots 2$$

$$(M_e)_{ij} = \int_{x_1^e}^{x_2^e} \rho A^e (N_p^e)_i (N_p^e)_j dx$$

$$\Delta e = (u_1^e \quad u_2^e)^T \quad (16)$$

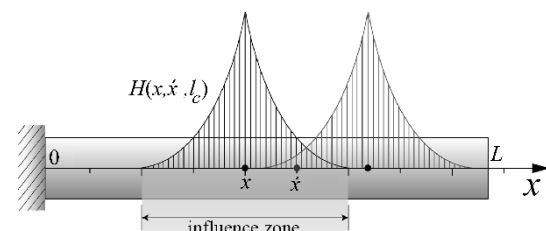


Fig. 2 هندسه و مختصات مدل میله

شکل ۲ هندسه و مختصات مدل میله

با این حال شایان ذکر است که نسبت به رویکرد ریزسازی- k ، تعداد بسیار بیشتری از نقاط کنترلی به منظور استفاده از رویکرد ریزسازی- p لازم است. که این امر متعاقباً به طور قابل ملاحظه‌ای حجم محاسبات را خصوصاً در تحلیل میله‌های غیرمحالی انتگرال- دیفرانسیلی دوفازی دوچندان می‌نماید.

"شکل 5" نرخ همگرایی سه فرکانس دوم را بر حسب افزایش مرتبه توابع پایه (p)، برای میله غیرمحالی مفروض در تحلیل "شکل 4" نشان می‌دهد. در این مطالعه، با درنظر گرفتن هفت المان ایزوژئومتریک ($N_{el} = 7$) دو رویکرد ریزسازی نوع p و k با هم مقایسه شده است. در استراتژی ریزسازی p ، فرکانس‌ها در تمام مودهای ارتعاش به ازای $p = 4$ به حل ریت (4) همگرا می‌گردند. این درحالی است که رویکرد ریزسازی- k به ازای $p = 7$ به همگرایی مطلوب رسید. باز دیگر می‌توان نتیجه گرفت که برای سه مود دوم ارتعاش، نرخ همگرایی در ریزسازی- k نسبت به ریزسازی- p به ازای تعداد المان‌های یکسان، بالاتر است.

6-2- اثر پارامتر مقیاس طولی غیرمحالی

اثر پارامتر مقیاس طولی غیرمحالی l_c بر سه فرکانس طبیعی اول بی-بعد $\omega_{nlcl}/\omega_{lcl}$ یک نانومیله دو سر ثابت در "شکل 6" نشان داده شده است. که در آن، ω_{nlcl} طبیعی به دست آمده برمبنای تئوری الاستیک انتگرالی غیرمحالی حاضر بوده و ω_{lcl} بیانگر فرکانس طبیعی متناظر می‌باشد. مدل ایزوژئومتریک نانومیله تحت تئوری الاستیک محلی (کلاسیک) می‌باشد. مدل غیرمحالی اینگونه بررسی، کاملاً غیرمحالی فرض شده ($\eta_2 = 1$) و مرتبه توابع پایه نزیر 4 به در نظر گرفته شده است. همچنین در این مثال، میله توسط 6 المان ایزوژئومتریک گسسته‌سازی شده است ($N_{el} = 6$). در "شکل 6" علاوه بر مدل انتگرالی غیرمحالی، مدل دیفرانسیلی غیرمحالی اینگونه برای نانومیله مفروض نیز ارائه شده است.

نتایج نشان می‌دهد که برای تمامی مودهای ارتعاش افزایش پارامتر مقیاس طولی غیرمحالی، فرکانس‌های طبیعی را در هر دو رویکرد دیفرانسیلی و انتگرالی کاهش می‌دهد؛ اما به استثنای فرکانس پایه، به ازای مودهای دوم و سوم ارتعاش، این کاهش در تئوری دیفرانسیلی غیرمحالی اینگونه، اندکی شدیدتر می‌باشد. برای مثال براساس مدل غیرمحالی دیفرانسیلی، با افزایش l_c از مقدار 0 تا 1، فرکانس‌های اول، دوم و سوم نانومیله به ترتیب، تا -69.30%، -83.52% و -88.34% افت می‌کنند. در حالی که متناظر،

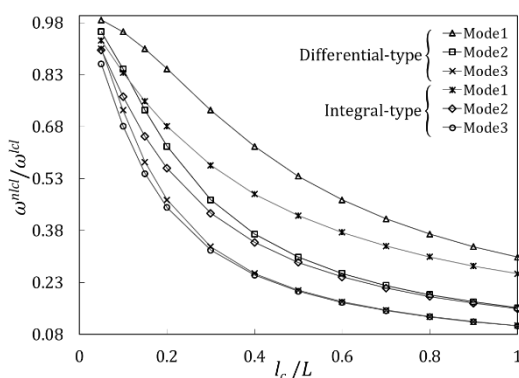


Fig. 6 تغییرات سه فرکانس طبیعی اول نرمالیزه نانومیله دو سر ثابت بر حسب پارامتر مقیاس طولی بی-بعد شده برمبنای تئوری‌های انتگرالی غیرمحالی و دیفرانسیلی غیرمحالی اینگونه

جدول 1 خلاصه‌ای از تحلیل همگرایی "شکل 3" و مشخصات توابع پایه به کار رفته در آن

Table 1 A brief summary of convergence analysis related to "Figure 3" and specifications of the applied basis functions

مرتبه تابع شکل (p)	پیوستگی ¹	کیفیت ¹	نوسان
$p = 1$ (FEM)	C^0	بد	دارد
$p = 2$ (IGA B-Spline)	C^1	متواسط	فقط در فرکانس پایه
$p = 3$ (IGA B-Spline)	C^2	خوب	ندارد

مربطه به توابع شکل به کار رفته در "شکل 3" را به صورت خلاصه‌وار نشان می‌دهد.

"شکل 4"، نرخ همگرایی $\ln(\omega^h/\omega - 1)$ سه فرکانس اول را بر حسب افزایش مرتبه توابع پایه (p)، برای یک مدل میله غیرمحالی $p = 0.2L$ و $l_c = 0.2L$ و با شرط مزدی دو سرگیردار نشان می‌دهد. در این مطالعه، با درنظر گرفتن چهار المان ایزوژئومتریک ($N_{el} = 4$) دو رویکرد ریزسازی نوع p و k با هم مقایسه شده است.

همان‌طور که در "شکل 4" مشاهده می‌شود، افزایش مرتبه توابع پایه باعث تسريع همگرایی راه حل در هر دو رویکرد ریزسازی p و k می‌گردد. که این نرخ همگرایی بالا، به خصوص در فرکانس پایه بسیار مشهود است. در هر دو استراتژی ریزسازی p و k فرکانس‌ها در هر سه مود ارتعاش در 4 به حل ریت (40) همگرا می‌گردند. همچنین، نرخ همگرایی در ریزسازی- p نسبت به ریزسازی- k به ازای تعداد المان‌های یکسان، بالاتر است.

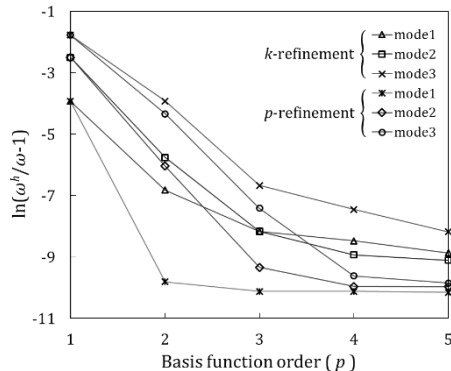


Fig. 4 نرخ همگرایی سه پارامتر فرکانسی اول یک میله غیرمحالی، با افزایش مرتبه

توابع پایه (p) و مقایسه دو استراتژی ریزسازی نوع p و k

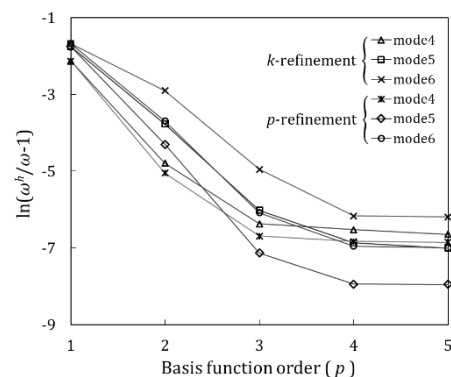


Fig. 5 rate of convergence of second three frequency of nanorod

شکل 5 نرخ همگرایی سه پارامتر فرکانسی دوم یک میله غیرمحالی

¹ کیفیت شامل دو عامل سرعت و یکنواختی در همگرایی است.

منطبق شده و دقیقاً به مقدار متناظر محلی می‌رسد. این در حالی است که در روش المان محدود با افزایش المان‌ها به ازای تمامی مقادیر بازه $[0, 1] = \eta_1$ مقادیر فرکانس غیر محلی پایه بر هم منطبق نشده و با خطای زیادی (خصوصاً به ازای $N_{el} = 5$) مقادیری بیشتر از فرکانس متناظر محلی اتخاذ می‌کنند. خطای مذکور برای شرایط مرزی یکسر گیردار کمتر از حالت مرزی دوسر ثابت بوده و در این حالت، دو نمودار مربوط به تعداد المان 20 و $N_{el} = 30$ با افزایش پارامتر فاز محلی بر هم کاملاً منطبق شده و به مقدار محلی متناظر می‌رسند. با این تفاسیر می‌توان نتیجه گرفت که روش ایزوژئومتریک برای مدل‌سازی رفتار دینامیکی میله‌های انتگرالی غیر محلی دوفازی بسیار مناسب‌تر و کارآمدتر از روش المان محدود بوده و دقت نتایج حاصله را تضمین می‌بخشد.

۶-۴- تابع پاسخ فرکانسی (FRF)^۲ برای مدل انتگرال- دیفرانسیلی غیر محلی میله

به منظور دست‌یابی به تابع پاسخ فرکانسی مدل انتگرال- دیفرانسیلی غیر محلی میله ابتدا لازم است که مدل مودال^۳ ساختار مربوطه فرمول‌بندی و ارائه گردد. تأسیس سختی دینامیکی^۴ (ω)^۵ برای مدل انتگرال- دیفرانسیلی غیر محلی میله را می‌توان به صورت زیر تعریف نمود:

$$\mathbb{Z}(\omega) = ([K] - \omega^2[M]) \quad (17)$$

که در آن، $[K]$ ، $[M]$ ماتریس‌های ایزوژئومتریک سختی و جرم کل ساختار می‌باشند.

با ضرب طرفین معادله (17) در ماتریس مودال $[\Delta]$ و ترانهاده آن و استفاده از خاصیت تعامد بردارهای ویژه خواهیم داشت:²⁷

$$[\Delta]^T \mathbb{Z}(\omega) [\Delta] = [\Delta]^T ([K] - \omega^2[M]) [\Delta] \quad (18\text{-الف})$$

$$[\Delta]^T \mathbb{Z}(\omega) [\Delta] = [\Gamma] - \omega^2[I] \quad (18\text{-ب})$$

که در آن، ماتریس‌های مربعی $[\Gamma]_m = [\Delta]^T [K] [\Delta]$ و $I_m = [\Gamma]_m$ با $[\Delta]^T I_m [\Delta]$ با توجه به خاصیت تعامد در بردارهای ویژه به ترتیب، برابر با

$$\text{diag}(\omega_1^2, \omega_2^2, \dots, \omega_m^2) \quad \text{و} \quad \text{diag}(1, 1, \dots, 1) = 1, 1, \dots, 1$$

با ضرب معادله (18-ب) در $[\Delta]^{-1}$ و $[\Delta]^{-T}$ و معکوس کردن روابط نهایتاً به ماتریس نرمی دینامیکی^۶ ($\mathbb{H}(\omega)$)^۷ خواهیم رسید.

$$\mathbb{H}(\omega) = [\Delta] ([\Gamma] - \omega^2[I])^{-1} [\Delta]^T \quad (19)$$

سرانجام، پاسخ فرکانسی از حاصل ضرب زیر به دست می‌آید:

$$X(\omega) = \mathbb{H}(\omega) F(\omega) \quad (20)$$

که در آن، $F(\omega)$ بردار تحریک در فضای فرکانسی است. هدف، یافتن پاسخ فرکانسی یک نانومیله غیر محلی انتگرالی دوفازی دوسر ثابت به تحریک تک سیگنال مربعی و بررسی اثر پارامتر η_c بر آن می‌باشد. در این مثال عددی، پارامتر مقایس طولی غیر محلی بی-بعد برابر با مذکور با $N_{el} = 50$ و $p = 6$ درنظر گرفته شده است. نانومیله غیر محلی دوفازی مذکور با $\tau = L_c/L = 0.5, 0.6$ در نظر گرفته شده است. همچنین از رویکرد ریزسازی- p به منظور دست‌یابی به ماتریس‌های سختی و جرم کل استفاده شده است. در تمام حالات بررسی شده سیگنال تحریک به وسط نانومیله ($x = L/2$) اعمال شده و پاسخ فرکانسی در آن نقطه بدست آمده است. در "شکل 9"، پاسخ فرکانسی با در نظر گرفتن مقدار پارامتر فاز غیر محلی $\eta_2 = 1$ بدست

برای مدل غیر محلی انتگرالی این افت فرکانس به ترتیب بصورت: ۸۷.۷۵٪ - ۸۲.۸۳٪ - ۷۲.۳۹٪ - ۸۲.۸۳٪ - ۸۷.۷۵٪ می‌باشد. می‌توان از روی نمودارهای "شکل 6" دریافت که با افزایش پارامتر η_c و همچنین بالاتر رفتن مود ارتعاش، فرکانس‌های طبیعی حاصل از دو رویکرد دیفرانسیلی و انتگرالی نانومیله به هم نزدیک‌تر می‌شوند.

۶-۳- اثر پارامتر فاز محلی

اثر پارامتر فاز محلی η_1 بر فرکانس‌های طبیعی نرمال‌سازی شده به ازای مقادیر پارامتر مقایس طولی غیر محلی $\{\eta_c = 0.1, 0.2, 0.3\}$ در "شکل 7" به نمایش درآمده است. نتایج برای مودهای ارتعاش اول، دوم و سوم ارائه شده اند. "شکل 7" نشان می‌دهد که با افزایش η_1 از مقدار ۰ تا ۱، همچنان که ماده از فاز غیر محلی خالص به فاز محلی خالص گذار می‌کند؛ به ازای تمامی مقادیر η_c ، فرکانس‌های نرمال‌سازی شده در تمامی مودهای ارتعاش افزایش می‌یابند. این پدیده به این دلیل اتفاق می‌افتد که با افزایش مقدار پارامتر فاز محلی، بخش محلی بر بخش غیر محلی در معادلات ساختاری غالب شده و این منجر به کم شدن خاصیت غیر محلی در ناتورق می‌گردد و بنابراین، اثر غیر محلی کم‌رنگ‌تر خواهد شد.

مطابق "شکل 7"، با افزایش پارامتر فاز محلی در مودهای بالاتر ارتعاش، افزایش فرکانس‌ها شدیدتر است. همچنین می‌توان مشاهده کرد که در هر مود ارتعاش، با افزایش η_1 به ازای مقادیر بالاتر پارامتر غیر محلی η_c فرکانس‌های طبیعی سریعتر خیز می‌کنند. زیرا هنگامی که پارامتر η_1 از مقدار ۰ تا ۱ افزایش می‌یابد، نقش ماتریس سختی غیر محلی در تولید ماتریس سختی کل به طور تدریجی محو شده و بلعکس، نقش ماتریس سختی محلی در تعیین رفتار دینامیکی نانو میله پررنگ‌تر خواهد شد. از سوی دیگر به طور همزمان، افزایش η_c به طور ذاتی اثر غیر محلی را در ماتریس سختی غیر محلی افزایش داده و بطور مضاعف، سختی سیستم را به ازای مقادیر کمتر η_1 ضعیف‌بخشیده و بنابراین صعود فرکانس‌های طبیعی از مقادیر کمتری شروع شده و به مقدار محلی افزایش می‌یابند. اثر ذاتی پارامتر مقایس طولی در ماتریس سختی غیر محلی را می‌توان این گونه توجیه کرد که وقتی η_c افزایش می‌یابد مطابق تعریف تابع کرنل، دامنه محاسباتی تابع کرنل افزایش یافته و تعداد بیشتری از المان‌های ایزوژئومتریک وارد قلمرو تاثیر^۸ می‌شوند و بنابراین اثر فوائل کوچک بین المان‌ها که اتم‌های نانومیله کربنی را تقریب می‌زنند؛ بیش از پیش نمود می‌یابد. درنتیجه، مدل پیوستار به مدل اتمی گستته نزدیک‌تر شده و باعث کاهش سختی ساختاری سیستم شده و فرکانس‌های طبیعی را کاهش می‌دهد.

در "شکل 8"، اثر افزایش المان‌ها $\{5, 10, 20, 30\} = N_{el}$ در تغییرات فرکانس‌های طبیعی پایه نرمال‌سازی شده یک مدل میله غیر محلی انتگرالی با پارامتر مقایس طولی غیر محلی $\eta_c = 0.1$ بر حسب پارامتر فاز محلی (η_1) برمنای دو روش ایزوژئومتریک و المان محدود بررسی شده است. در روش ایزوژئومتریک از ریزسازی- k -استفاده شده و مرتبه توابع پایه برای $p = 4$ درنظر گرفته شده است.

از "شکل 8" می‌توان دریافت که در روش ایزوژئومتریک با افزایش المان‌ها، فرکانس‌های طبیعی برای هر دو شرایط مرزی دوسر ثابت و یکسر ثابت کاهش یافته و این کاهش به ازای مقادیر کوچک پارامتر فاز محلی خصوصاً در بازه $0.2 < \eta_1 < 0$ ، شدت بیشتری دارد. با افزایش η_1 از مقدار ۰ تا ۱ مقادیر فرکانس غیر محلی پایه برای تمامی حالات المان گذاری، بر هم

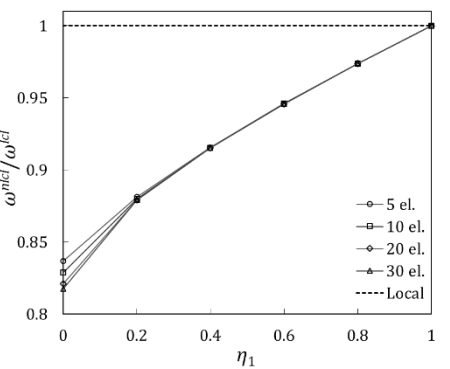
² Frequency response function

³ Modal model

⁴ Dynamic stiffness

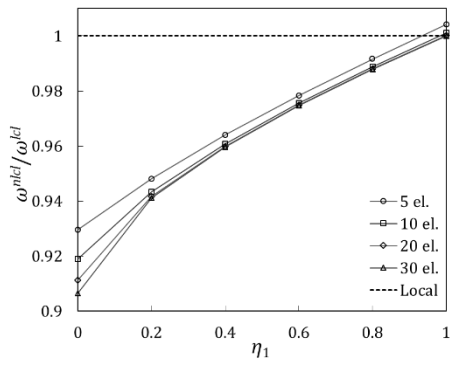
⁵ Receptance

⁶ Influence zone



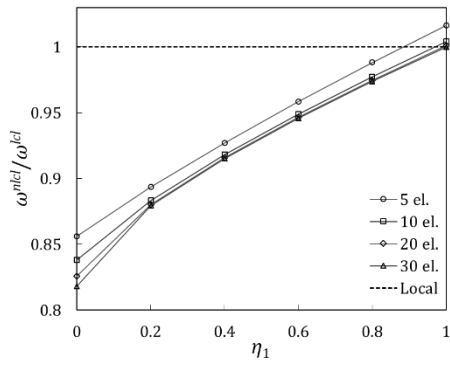
(ب)

(ب)



(ج)

(ج)



(د)

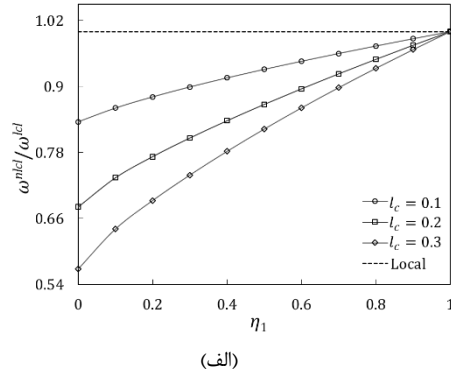
(د)

Fig. 8 changes of first normalized frequency of nanorod versus local phase parameter a) Isogeometric and clamped-free B.C.¹, b) Isogeometric and clamped-clamped B.C., c) finite element and clamped-free B.C. and d) finite element and clamped-clamped B.C.

شکل 8 تغییرات فرکانس‌های طبیعی پایه نرمالیزه نانومیله غیرمحالی انتگرالی برحسب پارامتر فاز محلی (η_1): (الف) ایزوژئومتریک و شرایط مرزی یکسر گیردار، (ب) ایزوژئومتریک و شرایط مرزی دوسر گیردار، (ج) المان محدود و شرایط مرزی یکسر گیردار و (د) المان محدود و شرایط مرزی دوسر گیردار

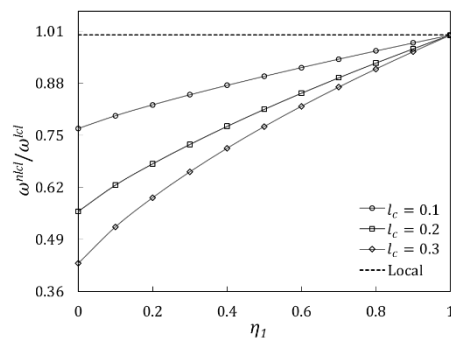
آمده و با پاسخ فرکانسی مدل محلی میله مقایسه شده است. در "شکل 9-الف" و "شکل 9-ب" به ترتیب، مقدار پارامتر τ برابر با 0.5 و 0.6 فرض شده است.

همان‌طور که در "شکل 9" مشاهده می‌شود، پدیده جمع‌شوندگی^۲ مودهای ارتعاش در بازه فرکانسی بالا برای مدل غیرمحالی میله



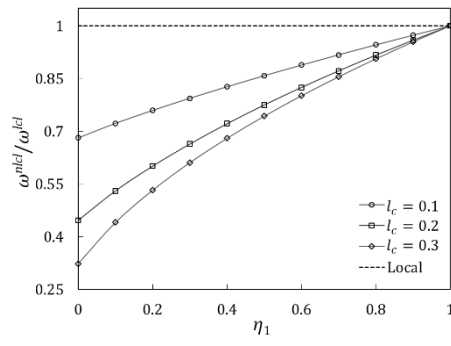
(الف)

(ا)



(ب)

(ب)

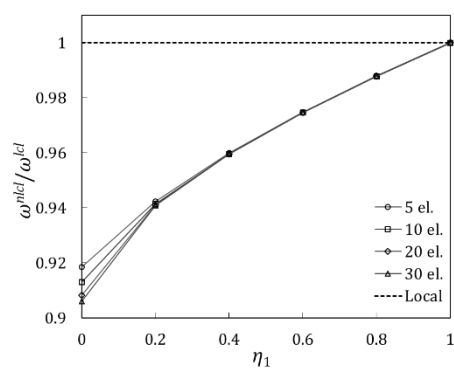


(ج)

(ج)

Fig. 7 تغییرات فرکانس طبیعی نرمالیزه نانومیله دو سر ثابت برحسب پارامتر فاز محلی (η_1) به ازای مقادیر مختلف l_c , در مودهای: (الف) اول، (ب) دوم و (ج) سوم ارتعاش

شکل 7 تغییرات فرکانس طبیعی نرمالیزه نانومیله دو سر ثابت برحسب پارامتر فاز محلی (η_1): (الف) ایزوژئومتریک و شرایط مرزی یکسر گیردار، (ب) ایزوژئومتریک و شرایط مرزی دوسر گیردار، (ج) المان محدود و شرایط مرزی یکسر گیردار و (د) المان محدود و شرایط مرزی دوسر گیردار



(الف)

(ا)

¹ Boundary conditions

² Clustering phenomenon

- محسوس تر است.
- در شرایط یکسان، نرخ همگرایی در استراتژی ریزسازی- p بالاتر از ریزسازی- k است اما به دلیل افزایش تعداد نقاط کنترلی استفاده از استراتژی- p از نظر محاسباتی هزینه‌بر است.
- برای تمامی مودهای ارتعاش، افزایش پارامترهای مقیاس طولی غیرمحلي و فاز غیرمحلي فرکانس‌های طبیعی را کاهش می‌دهد.
- به ازای مقدار معین پارامتر مقیاس طولی غیرمحلي، فرکانس حاصل از رویکرد انتگرالی کوچکتر از فرکانس متناظر حاصل از روش دیفرانسیلی است.
- مقدار فرکانس مجانبی برای مدل میله غیرمحلي انتگرالی با مقدار پارامتر مقیاس طولی غیرمحلي نسبت عکس دارد.

8- فهرست عاليم

انرژي کرنشی U

بردار تحريك در فضای فرکانسي $F(\omega)$

بردار نیروهای حجمی b

تابع وزنی w

تансور مدول‌های الاستیک ماده D

تعداد المان‌های ایزوژئومتریک N_{el}

تعداد توابع پایه‌ای n

تعداد جملات تابع پایه‌ای ریتز N_{Ritz}

تابع پایه‌ای مرتبه p يك بعدی $N_{i,p}(\xi)$

حجم نانوميله V

سطح مقطع نانوميله A

طول نانوميله L

كار نیروهای خارجی V^E

ماتریس جرم المان M_e

ماتریس سختی المان e

ماتریس سختی دینامیکی K_e

ماتریس نرمی دینامیکی $\mathbb{z}(\omega)$

مدول يانگ $\mathbb{H}(\omega)$

مرتبه توابع پایه‌ای E

مكان نقطه مرجع p

ميدان جابجاي محوري x

نيروهای تماسی u

علایم یونانی \tilde{t}

بردار گرهی Ξ

بردار متغیرهای کنترلی المان Δ_e

پارامتر فازی غيرمحلي η_2

پارامتر فازی محلی η_1

پارامتر فرکانسی بی-بعد ω^h

پارامتر مقیاس طولی غيرمحلي بی-بعد τ

تابعی انرژی کل Π

تансور تنفس σ

تансور گرنش ϵ

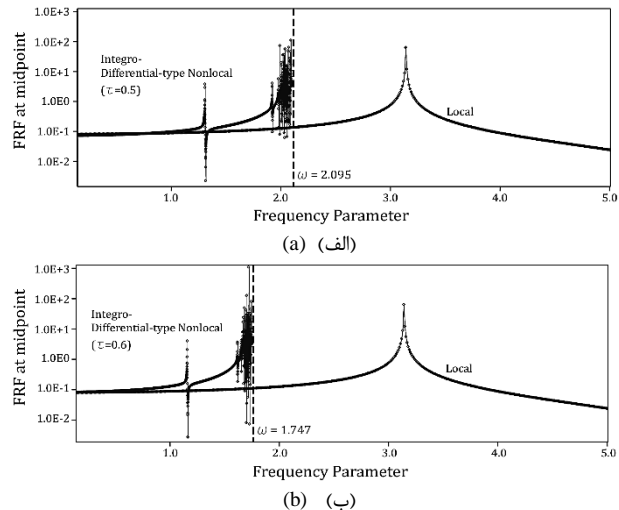


Fig. 9 توابع پاسخ فرکانسی برای مدل ایزوژئومتریک میله محلی و غیرمحلي انتگرال دوسر ثابت به ازای دو مقدار متفاوت پارامتر غیرمحلي τ . در (الف) پارامتر τ برابر با 0.5 و در (ب) پارامتر τ برابر با 0.6 می‌باشد. حد فرکانس قطع با خط چین مشخص شده است.

به وجود آمده است. این رفتار کاملاً متفاوت از مدل محلی، ناشی از وجود فرکانس مجانبی¹ است. در این مطالعه فرکانس مجانبی برای حالات (الف) و (ب) به ترتیب برابر با 2.095 و 1.747 می‌باشد. با افزایش مقدار پارامتر c ، مقدار فرکانس مجانبی کاهش می‌یابد. که این پدیده با مدل غیرمحلي دیفرانسیلی ارینگنریز سازگاری دارد [28].

7- نتیجه‌گیری

در پژوهش حاضر، ابتدا با استفاده از تئوری الاستیک انتگرال- دیفرانسیلی غیرمحلي دوفازی، فرمول‌بندی عمومی ایزوژئومتریک توسعه داده شد. سپس معادلات حرکت یک المان میله ایزوژئومتریک یکنواخت غیرمحلي مدل شده و به وسیله آن، رفتار دینامیکی میله‌های کوچک-مقیاس مورد بررسی قرار گرفت. در این مطالعه، تأثیر پارامتر مقیاس طولی غیرمحلي و پارامترهای فازی روی پارامتر فرکانس بررسی شد. به علاوه، بهمنظور مطالعه کارکرد روش ایزوژئومتریک در مسئله ارتعاش مدل انتگرال- دیفرانسیلی میله، سرعت و کیفیت همگرایی نتایج و استراتژی‌های مختلف ریزسازی شبکه برای مدل میله غیرمحلي مذکور مورد بررسی قرار گرفته است. شایان ذکر است که، تابع کرنل استفاده شده در اینجا از نوع تابع گرادیان- تنش اصلاح شده بوده که برای اولین بار در تحلیل‌ها به کار رفته است. درنهایت، اثر پارامتر مقیاس طولی غیرمحلي بر پاسخ فرکانسی مدل میله ارائه شده، تحت یک سیگنال مربعی به دست آمد.

از تجزیه و تحلیل‌های موجود نتایج زیر قابل جمع‌بندی است.

- کیفیت همگرایی نتایج حاصل از روش ایزوژئومتریک به مراتب بهتر از کیفیت همگرایی نتایج روش المان محدود با توابع پایه درون‌باب خطی است.

- افزایش مرتبه توابع پایه نرخ همگرایی نتایج را افزایش می‌دهد و این افزایش برای نمونه حل شده، در فرکانس پایه

² Asymptotic frequency

International Journal of Solids and Structures, Vol. 38, No. 42–43, pp. 7359–7380, 2001.

- [13] A. Pisano, P. Fuschi, Closed form solution for a nonlocal elastic bar in tension, *International Journal of Solids and Structures*, Vol. 40, No. 1, pp. 13–23, 2003.
- [14] A. A. Pisano, A. Sofi, P. Fuschi, Nonlocal integral elasticity: 2D finite element based solutions, *International Journal of Solids and Structures*, Vol. 46, No. 21, pp. 3836–3849, 2009.
- [15] A. A. Pisano, A. Sofi, P. Fuschi, Finite element solutions for nonhomogeneous nonlocal elastic problems, *Mechanics Research Communications*, Vol. 36, No. 7, pp. 755–761, 2009.
- [16] P. Khodabakhshi, J. N. Reddy, A unified integro-differential nonlocal model, *International Journal of Engineering Science*, Vol. 95, No. 1, pp. 60–75, 2015.
- [17] M. Shaat, Iterative nonlocal elasticity for Kirchhoff plates, *International Journal of Mechanical Sciences*, Vol. 90, No. 11, pp. 162–170, 2015.
- [18] Norouzzadeh, R. Ansari, H. Rouhi. Pre-Buckling Responses of Timoshenko Nanobeams Based on the Integral and Differential Models of Nonlocal Elasticity: an Isogeometric Approach, *Applied Physics A*, Vol. 123, No. 5, pp. 1–11, 2017.
- [19] M. Malagu, strain gradient approach to the analysis of nanoarches: Formulation and numerical solution with NURBS interpolation, Accessed on June 2012, <http://resolver.tudelft.nl/uuid:6ed908e1-8f7d-48b0-ae5f-a6fc852a27f6>.
- [20] N. T. Nguyen, D. Hui, J. Lee, H. Nguyen-Xuan, An efficient computational approach for size-dependent analysis of functionally graded nanoplates, *Computer Methods in Applied Mechanics and Engineering*, Vol. 297, pp. No. 6, 191–218, 2015.
- [21] P. Phung-van, M. Abdel-wahab, K. M. Liew, S. Bordas, H. Nguyen-xuan, Isogeometric analysis of functionally graded carbon nanotube-reinforced composite plates using higher-order shear deformation theory, *Composite structures*, Vol. 123, pp. 137–149, 2015.
- [22] S. Natarajan, S. Chakraborty, M. Thangavel, S. Bordas, T. Rabczuk, Size-dependent free flexural vibration behavior of functionally graded nanoplates, *Computational Materials Science*, Vol. 65, pp. 74–80, 2012.
- [23] C. D. Boor, *A Practical Guide to Splines*, Second Edition, pp. 108–130, New York: Springer-Verlag, 1978.
- [24] A. Eringen, Nonlocal polar elastic continua, *International Journal of Engineering Science*, Vol. 10, No. 1, pp. 1–16, 1972.
- [25] J. N. Reddy, *Energy Principles and Variational Methods in Applied Mechanics*, Second Edition, pp. 136–149, New York: Wiley, 2002.
- [26] J. N. Reddy, *An Introduction to the Finite Element Method*, Third Edition, pp. 230–245, New York: NY, McGraw-Hill Higher Education, 2006.
- [27] D. J. Ewins, *Modal testing: Theory, practice, and application*, Second Edition, pp. 130–152, England: Baldock, Hertfordshire, Research Studies Press, 2000.
- [28] S. Adhikari, T. Murmu, M. A. McCarthy, Frequency domain analysis of nonlocal rods embedded in an elastic medium, *Physica E: Low-dimensional Systems and Nanostructures*, Vol. 59, No. 32, pp. 33–40, 2014.

چگالی (kgm^{-3})	ρ
شرایط مرزی مسئله	Γ
فرکانس طبیعی نانومیله	ω
مختصه گره i ام در فضای پارامتری	ξ_i
زیرنویس‌ها	
المان	e
ریتز	Ritz

۹- مراجع

- [1] E. Kröner, Elasticity theory of materials with long range cohesive forces, *International Journal of Solids and Structures*, Vol. 3, No. 5, pp. 731–742, 1967.
- [2] I. A. Kunin, The theory of elastic media with microstructure and the theory of dislocations, *Mechanics of generalized continua*, Berlin Heidelberg, Germany, pp. 321–329, 1968.
- [3] J. A. Krumhansl, Some considerations of the relation between solid state physics and generalized continuum mechanics, *Mechanics of generalized continua*, Berlin Heidelberg, Germany, pp. 298–311, 1968.
- [4] G. B. Edelen, L. Norman, On the thermodynamics of systems with nonlocality, *Archive for Rational Mechanics and Analysis*, Vol. 43, No. 1, pp. 24–35, 1971.
- [5] D. G. B. Edelen, A. E. Green, Laws, Nonlocal continuum mechanics, *Archive for Rational Mechanics and Analysis*, Vol. 43, No. 1, pp. 36–44, 1971.
- [6] A. C. Eringen, D. G. B. Edelen, On nonlocal elasticity, *International Journal of Engineering Science*, Vol. 10, No. 3, pp. 233–248, 1972.
- [7] A. C. Eringen, Theory of nonlocal elasticity and some applications, *The international journal of structural mechanics and materials science*, Vol. 21, No. 62, pp. 313–342, 1987.
- [8] S. B. Altan, Existence in nonlocal elasticity, *Archive Mechanics*, Vol. 41, No. 1, pp. 25–36, 1989.
- [9] Z. P. Bazant, T. P. Chang, Instability of nonlocal continuum and strain averaging, *Journal of Engineering Mechanics*, Vol. 10, No. 110, pp. 1441–1450, 1984.
- [10] R. C. Picu, On the functional form of non-local elasticity kernels, *Journal of Mechanical Physics*, Vol. 50, No. 9, pp. 1923–1939, 2002.
- [11] S. Ghosh, V. Sundararaghavan, A. M. Waas, Construction of multi-dimensional isotropic kernels for nonlocal elasticity based on phonon dispersion data, *International Journal of Solids and Structures*, Vol. 51, No. 2, pp. 392–401, 2014.
- [12] C. Polizzotto, Nonlocal elasticity and related variational principles,